

O wykorzystaniu programowania obiektowego do implementacji schematu MPDATA

Sylwester Arabas, Dorota Jarecka, Anna Jaruga
(grupa prof. Hanny Pawłowskiej)

Instytut Geofizyki, Wydział Fizyki, Uniwersytet Warszawski

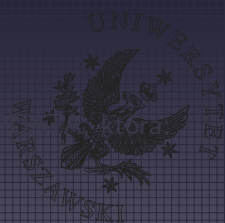
9. października 2012 r.



tytułem wstępu...

$$\partial_t \psi_i + \nabla \cdot (\vec{v} \psi_i) = R_i$$

- rozwiązywanie układów równań transportu (ciągłości) jest podstawowym zadaniem wielu narzędzi do symulacji numerycznych w naukach o Ziemi
~> zapotrzebowanie na dokładne i wydajne solwery
- schemat MPDATA (Smolarkiewicz 1983, ...)
 - schemat 1-go rzędu w przestrzeni czasu
 - z natury wielowymiarowy i zachowujący znak
 - opcja nie-oscyłacyjna (flux-corrected transport)
 - iteracyjny ~> łatwa współbieżność
 - zwyczajowy wybór w IGF UW :)
- - była wolnym i otwartym oprogramowaniem
 - posiadała dokumentację techniczną
 - była napisana obiektowo



tytułem wstępu...

$$\partial_t \psi_i + \nabla \cdot (\vec{v} \psi_i) = R_i$$

- rozwiązywanie układów równań transportu (ciągłości) jest podstawowym zadaniem wielu narzędzi do symulacji numerycznych w naukach o Ziemi
~> zapotrzebowanie na dokładne i wydajne solwery
- schemat **MPDATA** (Smolarkiewicz 1983, ...):
 - schemat 2-go rzędu w przestrzeni i czasie
 - z natury wielowymiarowy i zachowujący znak
 - opcja nie-oscyłacyjna (flux-corrected transport)
 - iteracyjny ~> łatwa współbieżność
 - zwracająmy wybór w IGF UW
- - była wolnym i otwartym oprogramowaniem
 - posiadała dokumentację techniczną
 - była napisana obiektowo



tytułem wstępu...

$$\partial_t \psi_i + \nabla \cdot (\vec{v} \psi_i) = R_i$$

- rozwiązywanie układów równań transportu (ciągłości) jest podstawowym zadaniem wielu narzędzi do symulacji numerycznych w naukach o Ziemi
~> zapotrzebowanie na dokładne i wydajne solwery
- schemat **MPDATA** (Smolarkiewicz 1983, ...):
 - schemat 2-go rzędu w przestrzeni i czasie
 - z natury wielowymiarowy i zachowujący znak
 - opcja nie-oscyłacyjna (flux-corrected transport)
 - iteracyjny ~> łatwa współbieżność
 - zwiększono wydajność IGF UW
- - była wolnym i otwartym oprogramowaniem
 - posiadała dokumentację techniczną
 - była napisana obiektowo



tytułem wstępu...

$$\partial_t \psi_i + \nabla \cdot (\vec{v} \psi_i) = R_i$$

- rozwiązywanie układów równań transportu (ciągłości) jest podstawowym zadaniem wielu narzędzi do symulacji numerycznych w naukach o Ziemi
~> zapotrzebowanie na dokładne i wydajne solwery
- schemat **MPDATA** (Smolarkiewicz 1983, ...):
 - schemat 2-go rzędu w przestrzeni i czasie
 - z natury wielowymiarowy i zachowujący znak
 - opcja nie-oscyłacyjna (flux-corrected transport)
 - iteracyjny ~> łatwa współbieżność
 - powstanie w ramach ICF UW
- była wolnym i otwartym oprogramowaniem
- posiadała dokumentację techniczną
- była napisana obiektowo



tytułem wstępu...

$$\partial_t \psi_i + \nabla \cdot (\vec{v} \psi_i) = R_i$$

- rozwiązywanie układów równań transportu (ciągłości) jest podstawowym zadaniem wielu narzędzi do symulacji numerycznych w naukach o Ziemi
~> zapotrzebowanie na dokładne i wydajne solwery
- schemat **MPDATA** (Smolarkiewicz 1983, ...):
 - schemat 2-go rzędu w przestrzeni i czasie
 - z natury wielowymiarowy i zachowujący znak
 - opcja nie-oscyłacyjna (flux-corrected transport)
 - iteracyjny ~> łatwa współbieżność
- była wolnym i otwartym oprogramowaniem
- posiadała dokumentację techniczną
- była napisana obiektowo



tytułem wstępu...

$$\partial_t \psi_i + \nabla \cdot (\vec{v} \psi_i) = R_i$$

- rozwiązywanie układów równań transportu (ciągłości) jest podstawowym zadaniem wielu narzędzi do symulacji numerycznych w naukach o Ziemi
 \rightsquigarrow zapotrzebowanie na dokładne i wydajne solwery
- schemat **MPDATA** (Smolarkiewicz 1983, ...):
 - schemat 2-go rzędu w przestrzeni i czasie
 - z natury wielowymiarowy i zachowujący znak
 - opcja nie-oscyłacyjna (flux-corrected transport)
 - iteracyjny \rightsquigarrow łatwa współbieżność
 - zwyczajowy wybór w IGF UW :)
- była wolnym i otwartym oprogramowaniem
- posiadała dokumentację techniczną
- była napisana obiektowo



tytułem wstępu...

$$\partial_t \psi_i + \nabla \cdot (\vec{v} \psi_i) = R_i$$

- rozwiązywanie układów równań transportu (ciągłości) jest podstawowym zadaniem wielu narzędzi do symulacji numerycznych w naukach o Ziemi
 \rightsquigarrow zapotrzebowanie na dokładne i wydajne solwery
- schemat **MPDATA** (Smolarkiewicz 1983, ...):
 - schemat 2-go rzędu w przestrzeni i czasie
 - z natury wielowymiarowy i zachowujący znak
 - opcja nie-oscyłacyjna (flux-corrected transport)
 - iteracyjny \rightsquigarrow łatwa współbieżność
 - zwyczajowy wybór w IGF UW :)
- wedle wiedzy autorów, nie istniała implementacja MPDATA, która:
 - ...
 - ...
 - ...



tytułem wstępu...

$$\partial_t \psi_i + \nabla \cdot (\vec{v} \psi_i) = R_i$$

- rozwiązywanie układów równań transportu (ciągłości) jest podstawowym zadaniem wielu narzędzi do symulacji numerycznych w naukach o Ziemi
 \rightsquigarrow zapotrzebowanie na dokładne i wydajne solwery
- schemat **MPDATA** (Smolarkiewicz 1983, ...):
 - schemat 2-go rzędu w przestrzeni i czasie
 - z natury wielowymiarowy i zachowujący znak
 - opcja nie-oscyłacyjna (flux-corrected transport)
 - iteracyjny \rightsquigarrow łatwa współbieżność
 - zwyczajowy wybór w IGF UW :)
- wedle wiedzy autorów, nie istniała implementacja MPDATA, która:
 - była wolnym i otwartym oprogramowaniem
 - była dostępna dla wszystkich
 - była łatwa w instalacji i obsłudze



tytułem wstępu...

$$\partial_t \psi_i + \nabla \cdot (\vec{v} \psi_i) = R_i$$

- rozwiązywanie układów równań transportu (ciągłości) jest podstawowym zadaniem wielu narzędzi do symulacji numerycznych w naukach o Ziemi
 \rightsquigarrow zapotrzebowanie na dokładne i wydajne solwery
- schemat **MPDATA** (Smolarkiewicz 1983, ...):
 - schemat 2-go rzędu w przestrzeni i czasie
 - z natury wielowymiarowy i zachowujący znak
 - opcja nie-oscyłacyjna (flux-corrected transport)
 - iteracyjny \rightsquigarrow łatwa współbieżność
 - zwyczajowy wybór w IGF UW :)
- wedle wiedzy autorów, nie istniała implementacja MPDATA, która:
 - była wolnym i otwartym oprogramowaniem
 - posiadała dokumentację techniczną



tytułem wstępu...

$$\partial_t \psi_i + \nabla \cdot (\vec{v} \psi_i) = R_i$$

- rozwiązywanie układów równań transportu (ciągłości) jest podstawowym zadaniem wielu narzędzi do symulacji numerycznych w naukach o Ziemi
 \rightsquigarrow zapotrzebowanie na dokładne i wydajne solwery
- schemat **MPDATA** (Smolarkiewicz 1983, ...):
 - schemat 2-go rzędu w przestrzeni i czasie
 - z natury wielowymiarowy i zachowujący znak
 - opcja nie-oscyłacyjna (flux-corrected transport)
 - iteracyjny \rightsquigarrow łatwa współbieżność
 - zwyczajowy wybór w IGF UW :)
- wedle wiedzy autorów, nie istniała implementacja MPDATA, która:
 - była wolnym i otwartym oprogramowaniem
 - posiadała dokumentację techniczną
 - była napisana obiektowo



tytułem wstępu...

$$\partial_t \psi_i + \nabla \cdot (\vec{v} \psi_i) = R_i$$

- rozwiązywanie układów równań transportu (ciągłości) jest podstawowym zadaniem wielu narzędzi do symulacji numerycznych w naukach o Ziemi
 \rightsquigarrow zapotrzebowanie na dokładne i wydajne solwery
- schemat **MPDATA** (Smolarkiewicz 1983, ...):
 - schemat 2-go rzędu w przestrzeni i czasie
 - z natury wielowymiarowy i zachowujący znak
 - opcja nie-oscyłacyjna (flux-corrected transport)
 - iteracyjny \rightsquigarrow łatwa współbieżność
 - zwyczajowy wybór w IGF UW :)
- wedle wiedzy autorów, nie istniała implementacja MPDATA, która:
 - była wolnym i otwartym oprogramowaniem
 - posiadała dokumentację techniczną
 - **była napisana obiektowo**



techniki programowania obiektowego ułatwiają tworzenie kodu:

- czytelnego dla człowieka \neq otwartość \rightsquigarrow możliwość recenzji kodu
- zwięzłego \rightsquigarrow mniejsza podatność na błędy i łatwiejsze ich tropienie
- zdatnego do ponownego użycia \rightsquigarrow biblioteki, nie kopiuj/wklej!
- modularnego \rightsquigarrow pełen rozdział numeryki/fizyki/współbieżności/we-wy
- poddającego się optymalizacji (przez kompilator/autora biblioteki)

"[Object oriented programming] has become recognised as the almost unique successful paradigm for creating complex software"

NR: The Art of Scientific Computing
© 2004, 2005, 2006, 2007, 2008, 2009, 2010, 2011, 2012, 2013, 2014, 2015, 2016, 2017, 2018, 2019, 2020, 2021, 2022, 2023, 2024, 2025



techniki programowania obiektowego ułatwiają tworzenie kodu:

- **czytelnego dla człowieka** + otwartość \rightsquigarrow możliwość recenzji kodu
- **zwięzłego** \rightsquigarrow mniejsza podatność na błędy i łatwiejsze ich tropienie
- **zdatnego do ponownego użycia** \rightsquigarrow biblioteki, nie kopiuj/wklej!
- **modularnego** \rightsquigarrow pełen rozdział numeryki/fizyki/współbieżności/we-wy
- **poddającego się optymalizacji** (przez kompilator/autora biblioteki)

"[Object oriented programming] has become recognised as the almost unique successful paradigm for creating complex software"

NR: The Art of Scientific Computing
© 2010, 2011, 2012, 2013, 2014, 2015, 2016, 2017, 2018, 2019, 2020, 2021, 2022, 2023, 2024, 2025



techniki programowania obiektowego ułatwiają tworzenie kodu:

- **czytelnego dla człowieka** + otwartość \rightsquigarrow możliwość recenzji kodu
- **zwięzłego** \rightsquigarrow mniejsza podatność na błędy i łatwiejsze ich tropienie
- **zdatnego do ponownego użycia** \rightsquigarrow biblioteki, nie kopiuj/wklej!
- **modularnego** \rightsquigarrow pełen rozdział numeryki/fizyki/współbieżności/we-wy
- **poddającego się optymalizacji** (przez kompilator/autora biblioteki)

"[Object oriented programming] has become recognised as the almost unique successful paradigm for creating complex software"

NR: The Arts and Sciences Center III



techniki programowania obiektowego ułatwiają tworzenie kodu:

- **czytelnego dla człowieka** + otwartość \rightsquigarrow możliwość recenzji kodu
- **zwięzłego** \rightsquigarrow mniejsza podatność na błędy i łatwiejsze ich tropienie
- **zdatnego do ponownego użycia** \rightsquigarrow biblioteki, nie kopiuj/wklej!
- modularnego \rightsquigarrow pełen rozdział numeryki/fizyki/współbieżności/we-wy
- poddającego się optymalizacji (przez kompilator/autora biblioteki)

"[Object oriented programming] has become recognised as the almost unique successful paradigm for creating complex software"

NP: The World Scientific Company



techniki programowania obiektowego ułatwiają tworzenie kodu:

- **czytelnego dla człowieka** + otwartość \rightsquigarrow możliwość recenzji kodu
- **zwięzłego** \rightsquigarrow mniejsza podatność na błędy i łatwiejsze ich tropienie
- **zdatnego do ponownego użycia** \rightsquigarrow biblioteki, nie kopiuj/wklej!
- **modularnego** \rightsquigarrow pełen rozdział numeryki/fizyki/współbieżności/we-wy
- poddającego się optymalizacji (przez kompilator/autora biblioteki)

"[Object oriented programming] has become recognised as the almost unique successful paradigm for creating complex software"

NP: The World Scientific Company



techniki programowania obiektowego ułatwiają tworzenie kodu:

- **czytelnego dla człowieka** + otwartość \rightsquigarrow możliwość recenzji kodu
- **zwięzłego** \rightsquigarrow mniejsza podatność na błędy i łatwiejsze ich tropienie
- **zdatnego do ponownego użycia** \rightsquigarrow biblioteki, nie kopiuj/wklej!
- **modularnego** \rightsquigarrow pełen rozdział numeryki/fizyki/współbieżności/we-wy
- **poddającego się optymalizacji** (przez kompilator/autora biblioteki)

"[Object oriented programming] has become recognised as the almost unique successful paradigm for creating complex software"

MP: The World of Software Engineering

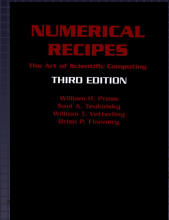


techniki programowania obiektowego ułatwiają tworzenie kodu:

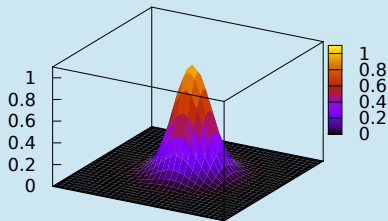
- **czytelnego dla człowieka** + otwartość \rightsquigarrow możliwość recenzji kodu
- **zwięzłego** \rightsquigarrow mniejsza podatność na błędy i łatwiejsze ich tropienie
- **zdatnego do ponownego użycia** \rightsquigarrow biblioteki, nie kopiuj/wklej!
- **modularnego** \rightsquigarrow pełen rozdział numeryki/fizyki/współbieżności/we-wy
- **poddającego się optymalizacji** (przez kompilator/autora biblioteki)

"[Object oriented programming] has become recognised as the almost unique successful paradigm for creating complex software"

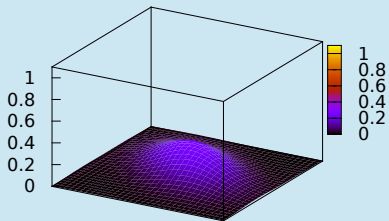
NR: The Art of Scientific Computing
(3rd ed., Press et al. 2007)



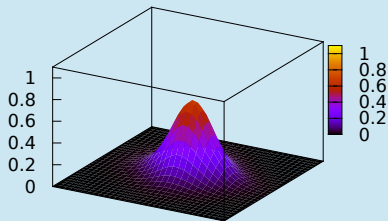
t=0



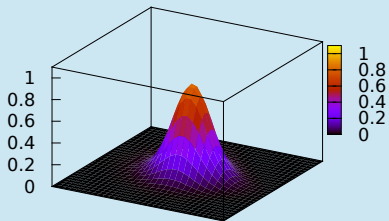
donorcell @ t=128



mpdata<2> @ t=128



mpdata<3> @ t=128



nx=32, ny=32, C=(0.5, 0.25)

przykładowa implementacja obiektowa w C++:

tablice i operacje na tablicach	15 LOC
siatka Arakawa-C	15 LOC
prototypowy solver	40 LOC
permutacje indeksów	15 LOC
periodyczne warunki brzegowe	20 LOC
schemat donor-cell	25 LOC
prędkości antydyfuzyjne	40 LOC
schemat MPDATA (dowolnego rzędu)	40 LOC
wygenerowanie wykresu z poprzedniego slajdu	50 LOC

< 270 LOC

tablice i operacje na tablicach

biblioteka Blitz++ („expression templates”, ew. inna np. do GPU)

```
1  #include <blitz/array.h>
2  using arr_t = blitz::Array<double, 2>;
3  using rng_t = blitz::Range;
4  using idx_t = blitz::RectDomain<2>;
```

makro preprocesora ułatwiający wykorzystanie typu „auto” z C++11

```
5  #define return_macro(expr) \
6      -> decltype(safeToReturn(expr)) \
7      { return safeToReturn(expr); }
```

automatyczne zwalnianie zaalokowanej pamięci + ujemne indeksy

```
8  #include <boost/ptr_container/ptr_vector.hpp>
9  struct arrvec_t : boost::ptr_vector<arr_t> {
10     const arr_t &operator[](const int i) const {
11         return this->at(
12             (i + this->size()) % this->size()
13         );
14     }
15 };
```

siatka Arakawa-C

instancja „połówki” i przeciążone operatory

```
16 struct hlf_t {} h;  
17  
18 inline rng_t operator+(const rng_t &i, const hlf_t &) {  
19     return i + 1;  
20 }  
21  
22 inline rng_t operator-(const rng_t &i, const hlf_t &) {  
23     return i;  
24 }
```

dla wygody: zdefiniowanie operacji \pm

```
25 template <class n_t>  
26 inline rng_t operator^(const rng_t &r, const n_t &n) {  
27     return rng_t(  
28         (r - n).first(),  
29         (r + n).last())  
30 );  
31 }
```

prototypowy solver (1/2)

statyczny polimorfizm (adv_t, bcx_t, bcy_t), alokacja pamięci w konstruktorze

```
32 template <class adv_t, class bcx_t, class bcy_t>
33 struct solver_2D
34 {
35     arrvec_t psi, C;
36     int n;
37     rng_t i, j;
38     adv_t adv;
39     bcx_t bcx;
40     bcy_t bcy;
41
42     // ctor
43     solver_2D(int nx, int ny) :
44         n(0), i(0, nx-1), j(0, ny-1), adv(i, j),
45         bcx(i, j, adv_t::n_halos),
46         bcy(j, i, adv_t::n_halos)
47     {
48         const int hlo = adv.n_halos;
49         for (int l = 0; l < 2; ++l)
50             psi.push_back(new arr_t(i ^ hlo, j ^ hlo));
51         // redundant size (to make lower bounds of arrays equal)
52         C.push_back(new arr_t(i ^ h ^ hlo, j ^ hlo));
53         C.push_back(new arr_t(i ^ hlo, j ^ h ^ hlo));
54     }
```


prototypowy solver (2/2)

gettery state(), Cx(), Cy() (zwracające „widoki” tablic bez halo)

```
55 arr_t state() {
56     return psi[n](i,j).reindex({0,0});
57 }
58 arr_t Cx() {
59     return C[0](i ^ h, j).reindex({0,0});
60 }
61 arr_t Cy() {
62     return C[1](i, j ^ h).reindex({0,0});
63 }
```

metoda solve() z pętlą po czasie (tu ew. OpenMP)

```
64 void solve(const int nt) {
65     for (int t = 0; t < nt; ++t) {
66         for (int s = 0; s < adv.n_steps; ++s) {
67             bcx.fill_halos(psi[n]);
68             bcy.fill_halos(psi[n]);
69             adv.op_2D(psi, n, C, i, j, s);
70             n = (n + 1) % 2;
71         }
72     }
73 }
74 };
```

permutacje indeksów

n.p. jedna funkcja fill_halos() czy donorcell() do zastosowania w dowolnym wymiarze

```
75  template <int d>
76  struct pi;
77
78  template <>
79  struct pi<0> : idx_t {
80      pi(const rng_t &i, const rng_t &j) :
81          idx_t({i,j})
82      {}
83  };
84
85  template <>
86  struct pi<1> : idx_t {
87      pi(const rng_t &j, const rng_t &i) :
88          idx_t({i,j})
89      {}
90  };
```

periodyczne warunki brzegowe

działa w dowolnym kierunku/wymiarze „d”, separacja od numeryki (tu ew. MPI)

```
91  template <int d>
92  struct cyclic
93  {
94      // member fields
95      pi<d> left_halo, rght_edge, rght_halo, left_edge;
96
97      // ctor
98      cyclic(const rng_t &i, const rng_t &j, const int hlo) :
99          //      ( i.first ... i.last ), ( j )
100         left_halo(rng_t(i.first()-hlo, i.first()-1 ), j^hlo),
101         rght_edge(rng_t(i.last()-hlo+1, i.last() ), j^hlo),
102         rght_halo(rng_t(i.last()+1, i.last()+hlo ), j^hlo),
103         left_edge(rng_t(i.first(), i.first()+hlo-1), j^hlo)
104     {}
105
106     void fill_halos(const arr_t &psi)
107     {
108         psi(left_halo) = psi(rght_edge);
109         psi(rght_halo) = psi(left_edge);
110     }
111 };
```

schemat donor-cell (1/2)

$$F(\psi_L, \psi_R, C) = \max(C, 0) \cdot \psi_L + \min(C, 0) \cdot \psi_R$$

```
112 template <class T1, class T2, class T3>
113 inline auto F(
114     const T1 &psi_l, const T2 &psi_r, const T3 &C
115 ) return_macro(
116     .5 * (C + abs(C)) * psi_l +
117     .5 * (C - abs(C)) * psi_r
118 )
```

$$\dots \left(F \left[\psi_{i,j}^{[n]}, \psi_{i,j+\pi_{1,0}^d}^{[n]}, C_{i,j+\pi_{1/2,0}^d}^{[d]} \right] - F \left[\psi_{i,j+\pi_{-1,0}^d}^{[n]}, \psi_{i,j}^{[n]}, C_{i,j+\pi_{-1/2,0}^d}^{[d]} \right] \right) \dots$$

```
119 template <int d>
120 inline auto donorcell_1D(
121     const arr_t &psi, const arr_t &C,
122     const rng_t &i, const rng_t &j
123 ) return_macro(
124     F(psi(pi<d>(i, j)), psi(pi<d>(i+1,j)), C(pi<d>(i+h,j))) -
125     F(psi(pi<d>(i-1,j)), psi(pi<d>(i, j)), C(pi<d>(i-h,j)))
126 )
```

schemat donor-cell (2/2)

$$\psi_{i,j}^{[n+1]} = \psi_{i,j}^{[n]} - \sum_{d=0}^{N-1} \left(F \left[\psi_{i,j}^{[n]}, \psi_{i,j+\pi_{1,0}^d}^{[n]}, C_{i,j+\pi_{1/2,0}^d}^{[d]} \right] - F \left[\psi_{i,j+\pi_{-1,0}^d}^{[n]}, \psi_{i,j}^{[n]}, C_{i,j+\pi_{-1/2,0}^d}^{[d]} \right] \right)$$

```
127 inline void donorcell_2D(  
128     const arrvec_t &psi, const int n,  
129     const arrvec_t &C,  
130     const rng_t &i, const rng_t &j  
131 ) {  
132     psi[n+1](i,j) = psi[n](i,j)  
133         - donorcell_1D<0>(psi[n], C[0], i, j)  
134         - donorcell_1D<1>(psi[n], C[1], j, i);  
135 }
```

- uogólnienie do trzech wymiarów: 1 linijka więcej!
- brak pętli \rightsquigarrow przejrzysty kod, ale też separacja od logiki halo
- mniej znaków niż na opisanie w \LaTeX u

prędkości antydyfuzyjne (1/3)

dla wygody: definicja „ułamka”

```
136 template <class nom_t, class den_t>
137 static inline auto frac(
138     const nom_t &nom, const den_t &den
139 ) return_macro(
140     where(den > 0, nom / den, 0)
141 )
```

$$A_{i,j}^{[d]} = \frac{\psi_{i,j+\pi_{1,0}^d} - \psi_{i,j}}{\psi_{i,j+\pi_{1,0}^d} + \psi_{i,j}}$$

```
142 template <int d>
143 inline auto A(
144     const arr_t &psi, const rng_t &i, const rng_t &j
145 ) return_macro(
146     frac(
147         psi(pi<d>(i+1, j)) - psi(pi<d>(i, j)),
148         psi(pi<d>(i+1, j)) + psi(pi<d>(i, j))
149     )
150 )
```

prędkości antydyfuzyjne (2/3)

$$B_{i,j}^{[d]} = \frac{1}{2} \frac{\psi_{i,j+\pi_{1,1}^d} + \psi_{i,j+\pi_{0,1}^d} - \psi_{i,j+\pi_{1,-1}^d} - \psi_{i,j+\pi_{0,-1}^d}}{\psi_{i,j+\pi_{1,1}^d} + \psi_{i,j+\pi_{0,1}^d} + \psi_{i,j+\pi_{1,-1}^d} + \psi_{i,j+\pi_{0,-1}^d}}$$

```
151 template <int d>
152 inline auto B(
153     const arr_t &psi, const rng_t &i, const rng_t &j
154 ) return_macro(
155     .5 * frac(
156         psi(pi<d>(i+1, j+1)) + psi(pi<d>(i, j+1)) -
157         psi(pi<d>(i+1, j-1)) - psi(pi<d>(i, j-1)),
158         psi(pi<d>(i+1, j+1)) + psi(pi<d>(i, j+1)) +
159         psi(pi<d>(i+1, j-1)) + psi(pi<d>(i, j-1))
160     )
161 )
```

- te funkcje zwracają części składowe wyrażeń macierzowych
- kompilator tworzy z nich jedną pętlę po elementach

prędkości antydyfuzyjne (3/3)

$$C'_{i,j+\pi_{1/2,0}^d} = \left| C_{i,j+\pi_{1/2,0}^d}^{[d]} \right| \cdot \left[1 - \left| C_{i,j+\pi_{1/2,0}^d}^{[d]} \right| \right] \cdot A_{i,j}^{[d]}(\psi) - \sum_{q=0, q \neq d}^N C_{i,j+\pi_{1/2,0}^d}^{[d]} \cdot \bar{C}_{i,j+\pi_{1/2,0}^d}^{[q]} \cdot B_{i,j}^{[d]}(\psi)$$

$$\bar{C}_{i,j+\pi_{1/2,0}^d}^{[q]} = \frac{1}{4} \cdot \left(C_{i,j+\pi_{1,1/2}^d}^{[q]} + C_{i,j+\pi_{0,1/2}^d}^{[q]} + C_{i,j+\pi_{1,-1/2}^d}^{[q]} + C_{i,j+\pi_{0,-1/2}^d}^{[q]} \right)$$

```
162 template <int d>
163 inline auto antidiff_2D(
164     const arr_t &psi,
165     const rng_t &i, const rng_t &j,
166     const arrvec_t &C
167 ) return_macro(
168     abs(C[d](pi<d>(i+h, j))) * (1 - abs(C[d](pi<d>(i+h, j))))
169     * A<d>(psi, i, j) - C[d](pi<d>(i+h, j)) * .25
170     * (
171         C[d-1](pi<d>(i+1, j+h)) +
172         C[d-1](pi<d>(i, j+h)) +
173         C[d-1](pi<d>(i+1, j-h)) +
174         C[d-1](pi<d>(i, j-h))
175     ) * B<d>(psi, i, j)
176 )
```


schemat MPDATA (dowolnego rzędu) (1/2)

liczba iteracji MPDATA jako parametr wzorca struktury

```
177 template <int n_iters>
178 struct mpdata
179 {
180     // member fields
181     arrvec_t tmp0, tmp1;
182     static const int n_steps = n_iters;
183     static const int n_halos = n_iters;
184
185     // ctor
186     mpdata(const rng_t &i, const rng_t &j) {
187         const int hlo = n_steps;
188         tmp0.push_back(new arr_t(i ^ h ^ hlo, j ^ hlo));
189         tmp0.push_back(new arr_t(i ^ hlo, j ^ h ^ hlo));
190         if (n_iters < 2) return;
191         tmp1.push_back(new arr_t(i ^ h ^ hlo, j ^ hlo));
192         tmp1.push_back(new arr_t(i ^ hlo, j ^ h ^ hlo));
193     }
```

schemat MPDATA (dowolnego rzędu) (2/2)

metoda op_2D() wywoływana przez solver

```
194 inline void op_2D(  
195     const arrvec_t &psi, const int n, const arrvec_t &C,  
196     const rng_t &i, const rng_t &j, const int step  
197 ) {  
198     // choosing input/output for antidiff. velocity  
199     const arrvec_t  
200         &C_unco = (step == 1) ? C : (step % 2) ? tmp0 : tmp1,  
201         &C_corr = (step % 2) ? tmp1 : tmp0;  
202     const int hlo = n_steps - 1 - step;  
203     // calculating the antidiffusive velocities  
204     if (step > 0) {  
205         const rng_t // ext. ranges as we only use C_{+1/2}  
206             im(i.first() - 1, i.last()),  
207             jm(j.first() - 1, j.last());  
208         C_corr[0](im + h, j ^ hlo) =  
209             antidiff_2D<0>(psi[n], im, j ^ hlo, C_unco);  
210         C_corr[1](i ^ hlo, jm + h) =  
211             antidiff_2D<1>(psi[n], jm, i ^ hlo, C_unco);  
212     }  
213     // performing a donor-cell step with C or C_corr  
214     donorcell_2D(psi, n, step==0 ? C : C_corr, i, j);  
215 }  
216 };
```

Przykład użycia:

- zadanie warunku początkowego
- całkowanie z różną liczbą iteracji
- wykreślenie wyniku poprzez gnuplot-iostream



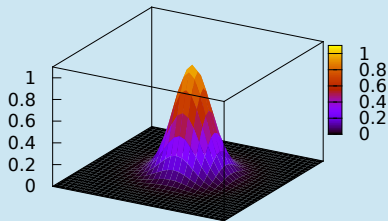
```

217 #include "listings.hpp"
218 #define GNUPLOT_ENABLE_BLITZ
219 #include <gnuplot-iostream/gnuplot-iostream.h>
220
221 template <class slv_t>
222 void init(slv_t &slv, const int nx, const int ny) {
223     blitz::firstIndex i;
224     blitz::secondIndex j;
225     slv.state() = exp(
226         -sqr(i-nx/2.) / (2.*pow(nx/10,2))
227         -sqr(j-ny/2.) / (2.*pow(ny/10,2))
228     );
229     slv.Cx() = .5;
230     slv.Cy() = .25;
231 }
232
233 int main() {
234     Gnuplot gp;
235     gp << "set term pdf size 13cm, 11cm\n"
236         "set output 'figure.pdf'\n"      "set nosurface\n"
237         "set border 4095\n"             "unset xtics\n"
238         "unset ytics\n"                 "set ticslevel 0\n"
239         "set cbrange [0:1.1]\n"         "set zrange [0:1.1]\n"
240         "set multiplot layout 2,2\n"     "set pm3d\n";
241     int nx = 32, ny = 32, nt = 128;
242     std::string fmt;

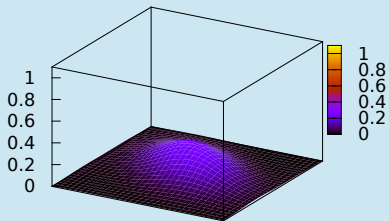
```

```
243 {
244     solver_2D<mpdata<1>, cyclic<0>, cyclic<1>> slv(nx, ny);
245     init(slv, nx, ny);
246     fmt = gp.binfmt(slv.state());
247     gp << "set title 't=0'\n"
248         "splot '-' binary" << fmt << " notitle\n";
249     gp.sendBinary(slv.state().copy());
250     slv.solve(nt);
251     gp << "set title 'donorcell @ t=" << nt << "'\n"
252         "splot '-' binary" << fmt << " notitle\n";
253     gp.sendBinary(slv.state().copy());
254 } {
255     solver_2D<mpdata<2>, cyclic<0>, cyclic<1>> slv(nx, ny);
256     init(slv, nx, ny);
257     slv.solve(nt);
258     gp << "set title 'mpdata<2> @ t=" << nt << "'\n"
259         "splot '-' binary" << fmt << " notitle\n";
260     gp.sendBinary(slv.state().copy());
261 } {
262     solver_2D<mpdata<3>, cyclic<0>, cyclic<1>> slv(nx, ny);
263     init(slv, nx, ny);
264     slv.solve(nt);
265     gp << "set title 'mpdata<3> @ t=" << nt << "'\n"
266         "splot '-' binary" << fmt << " notitle\n";
267     gp.sendBinary(slv.state().copy());
268 }
269 }
```

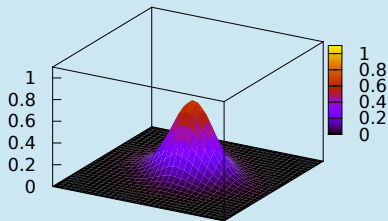
t=0



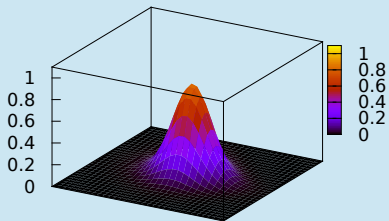
donorcell @ t=128



mpdata<2> @ t=128



mpdata<3> @ t=128



nx=32, ny=32, C=(0.5, 0.25)

podsumowanie

zastosowanie OOP do implementacji schematu MPDATA:

- umożliwia pełną separację numeryki, fizyki, współbieżności, we-wy
- skutkuje zwięzłością kodu
(C++, Python, gorzej z FORTRANem 2008)
- pozwala na odwzorowanie notacji matematycznej w kodzie

wartość dodana w przypadku wyboru C++:

- wysoka wydajność (\geq FORTRAN)
- duże środowisko (i rynek) programistów
- dostęp do bibliotek obiektowych (np. Boost.MPI, Thrust, ...)
- możliwość eliminacji duplikacji kodu bez utraty wydajności przy pomocy polimorfizmu statycznego (np. wersja MPDATA)
- możliwość łatwej integracji z istniejącymi kodami
- wysoka zgodność kompilerów ze standardem



podsumowanie

zastosowanie OOP do implementacji schematu MPDATA:

- umożliwia pełną separację numeryki, fizyki, współbieżności, we-wy
- skutkuje zwięzłością kodu
(C++, Python, gorzej z FORTRANem 2008)
- pozwala na odwzorowanie notacji matematycznej w kodzie

wartość dodana w przypadku wyboru C++:

- wysoka wydajność (\geq FORTRAN)
- duże środowisko (i rynek) programistów
- dostęp do bibliotek obiektowych (np. Boost.MPI, Thrust, ...)
- możliwość eliminacji duplikacji kodu bez utraty wydajności przy pomocy polimorfizmu statycznego (np. wersja MPDATA)
- możliwość łatwej integracji z istniejącymi kodami
- wysoka zgodność kompilerów ze standardem



podsumowanie

zastosowanie OOP do implementacji schematu MPDATA:

- umożliwia pełną separację numeryki, fizyki, współbieżności, we-wy
- skutkuje zwięzłością kodu (C++, Python, gorzej z FORTRANem 2008)
- pozwala na odwzorowanie notacji matematycznej w kodzie

wartość dodana w przypadku wyboru C++:

- wysoka wydajność (\geq FORTRAN)
- duże środowisko (i rynek) programistów
- dostęp do bibliotek obiektowych (np. Boost.MPI, Thrust, ...)
- możliwość eliminacji duplikacji kodu bez utraty wydajności przy pomocy polimorfizmu statycznego (np. wersja MPDATA)
- możliwość wyłączenia niepotrzebnych funkcji i opcji kompilacji
- wysoka zgodność kolumn osiowy ze standardem



podsumowanie

zastosowanie OOP do implementacji schematu MPDATA:

- umożliwia pełną separację numeryki, fizyki, współbieżności, we-wy
- skutkuje zwięzłością kodu (C++, Python, gorzej z FORTRANem 2008)
- pozwala na odwzorowanie notacji matematycznej w kodzie

wartość dodana w przypadku wyboru C++:

- wysoka wydajność (\geq FORTRAN)
- duże środowisko (i rynek) programistów
- dostęp do bibliotek obiektowych (np. Boost.MPI, Thrust, ...)
- możliwość eliminacji duplikacji kodu bez utraty wydajności przy pomocy kompilatora statycznego (np. wersja MPDATA)
- możliwość wygenerowania kodu C++ z FORTRANem
- wysoka zgodność komend z standardem



podsumowanie

zastosowanie OOP do implementacji schematu MPDATA:

- umożliwia pełną separację numeryki, fizyki, współbieżności, we-wy
- skutkuje zwięzłością kodu (C++, Python, gorzej z FORTRANem 2008)
- pozwala na odwzorowanie notacji matematycznej w kodzie

wartość dodana w przypadku wyboru C++:

- wysoka wydajność (\geq FORTRAN)
- duże środowisko (i rynek) programistów
- dostęp do bibliotek obiektowych (np. Boost.MPI, Thrust, ...)
- możliwość eliminacji duplikacji kodu bez utraty wydajności przy pomocy op.inportu i stabilizatora (np. wersja MPDATA)
- możliwość łatwej integracji z innymi językami (np. Fortran)
- wysoka zgodność komendy z standardem



podsumowanie

zastosowanie OOP do implementacji schematu MPDATA:

- umożliwia pełną separację numeryki, fizyki, współbieżności, we-wy
- skutkuje zwięzłością kodu (C++, Python, gorzej z FORTRANem 2008)
- pozwala na odwzorowanie notacji matematycznej w kodzie

wartość dodana w przypadku wyboru C++:

- wysoka wydajność (\geq FORTRAN)
- duże środowisko (i rynek) programistów
- dostęp do bibliotek obiektowych (np. Boost.MPI, Thrust, ...)
- możliwość eliminacji duplikacji kodu bez utraty wydajności przy pomocy kompilatora i szablonów (np. wersja MPDATA)
- możliwość wyłączenia obsługi komendy `std::cout` ze standardem
- możliwość wyłączenia obsługi komendy `std::endl` ze standardem



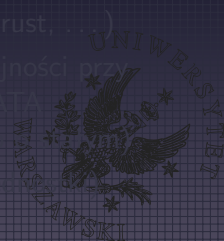
podsumowanie

zastosowanie OOP do implementacji schematu MPDATA:

- umożliwia pełną separację numeryki, fizyki, współbieżności, we-wy
- skutkuje zwięzłością kodu (C++, Python, gorzej z FORTRANem 2008)
- pozwala na odwzorowanie notacji matematycznej w kodzie

wartość dodana w przypadku wyboru C++:

- wysoka wydajność (\geq FORTRAN)
- duże środowisko (i rynek) programistów
- dostęp do bibliotek obiektowych (np. Boost.MPI, Thrust, ...)
- możliwość eliminacji duplikacji kodu bez utraty wydajności przy porównaniu z implementacją w języku MPDATA
- możliwość wykorzystania narzędzi do optymalizacji
- wysoka zgodność kody z innymi standardami



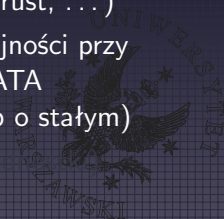
podsumowanie

zastosowanie OOP do implementacji schematu MPDATA:

- umożliwia pełną separację numeryki, fizyki, współbieżności, we-wy
- skutkuje zwięzłością kodu
(C++, Python, gorzej z FORTRANem 2008)
- pozwala na odwzorowanie notacji matematycznej w kodzie

wartość dodana w przypadku wyboru C++:

- wysoka wydajność (\geq FORTRAN)
- duże środowisko (i rynek) programistów
- dostęp do bibliotek obiektowych (np. Boost.MPI, Thrust, ...)
- możliwość eliminacji duplikacji kodu bez utraty wydajności przy pomocy polimorfizmu statycznego (np. wersja MPDATA z Jakobianem lub bez, dla pól o zmiennym znaku lub o stałym)



podsumowanie

zastosowanie OOP do implementacji schematu MPDATA:

- umożliwia pełną separację numeryki, fizyki, współbieżności, we-wy
- skutkuje zwięzłością kodu
(C++, Python, gorzej z FORTRANem 2008)
- pozwala na odwzorowanie notacji matematycznej w kodzie

wartość dodana w przypadku wyboru C++:

- wysoka wydajność (\geq FORTRAN)
- duże środowisko (i rynek) programistów
- dostęp do bibliotek obiektowych (np. Boost.MPI, Thrust, ...)
- możliwość eliminacji duplikacji kodu bez utraty wydajności przy pomocy polimorfizmu statycznego (np. wersja MPDATA z Jakobianem lub bez, dla pól o zmiennym znaku lub o stałym)
- możliwość analizy wymiarowej podczas kompilacji (jednostki)

podsumowanie

zastosowanie OOP do implementacji schematu MPDATA:

- umożliwia pełną separację numeryki, fizyki, współbieżności, we-wy
- skutkuje zwięzłością kodu
(C++, Python, gorzej z FORTRANem 2008)
- pozwala na odwzorowanie notacji matematycznej w kodzie

wartość dodana w przypadku wyboru C++:

- wysoka wydajność (\geq FORTRAN)
- duże środowisko (i rynek) programistów
- dostęp do bibliotek obiektowych (np. Boost.MPI, Thrust, ...)
- możliwość eliminacji duplikacji kodu bez utraty wydajności przy pomocy polimorfizmu statycznego (np. wersja MPDATA z Jakobianem lub bez, dla pól o zmiennym znaku lub o stałym)
- możliwość analizy wymiarowej podczas kompilacji (jednostki)
- wysoka zgodność kompilatorów ze standardem

Dziękuję za uwagę!

podziękowania:

Piotr Smolarkiewicz

zespół Blitz++

wykorzystane biblioteki:

Blitz++

Boost.ptr_vector

gnuplot-iostream

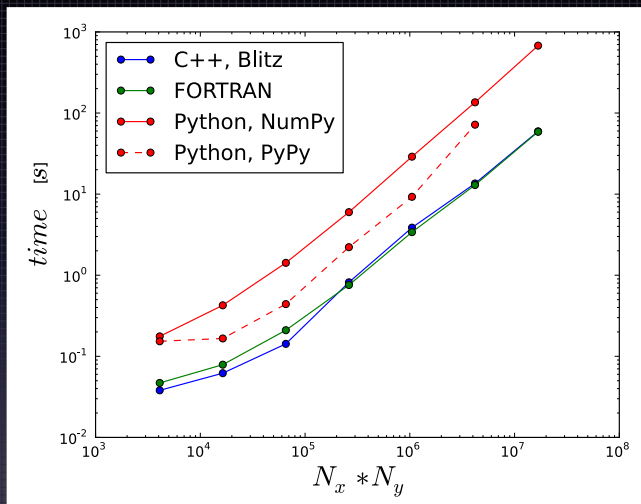
finansowanie:

NCN (2011/01/N/ST10/01483)

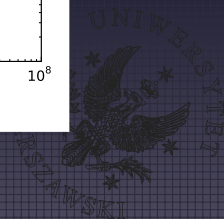
FNP START



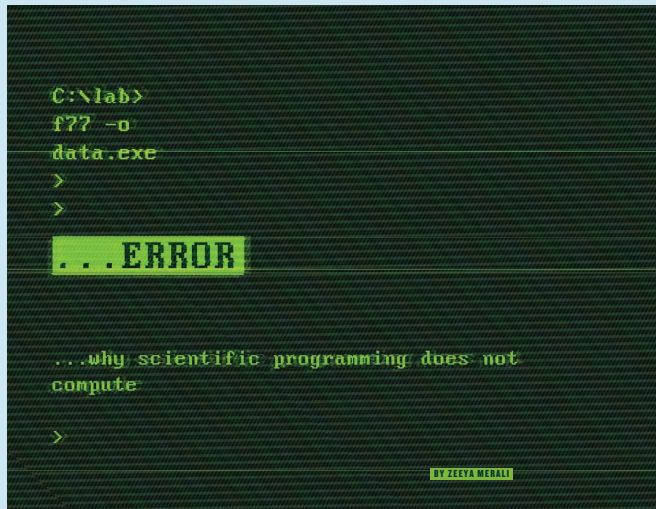
C++ vs. FORTRAN vs. Python: wydajność



dla donor-cell 2D (Jarecka et al. 2012 EGU,
artykuł w przygotowaniu)



Merali 2010 (Nature, vol. 467, p. 775-777)



<http://www.nature.com/news/2010/101013/full/467775a.html>



C++ can check units for you (at no runtime cost!)

κ -Köhler parameterisation

```
/// @brief activity of water in solution
/// (eqs. 1,6) in @copydetails Petters_and_Kreidenweis_2007
template <typename real_t>
quantity<si::dimensionless, real_t> a_w(
    quantity<si::volume, real_t> rw3,
    quantity<si::volume, real_t> rd3,
    quantity<si::dimensionless, real_t> kappa
)
{
    return (rw3 - rd3) / (rw3 - rd3 * (real_t(1) - kappa));
}
};
```

↪ Boost.units

<http://boost.org/doc/libs/release/libs/units/>

